

**2º SIMPÓSIO BRASILEIRO SOBRE
TUBULAÇÕES E VASOS DE PRESSÃO**

E

**2º SIMPÓSIO LATINO-AMERICANO
SOBRE TUBULAÇÕES E VASOS DE PRESSÃO**

SIMPOSIOS INTERNACIONAIS

ABEFIN

Gremio, RS, Brasil
25 a 28 de setembro de 1994



INTERNAZIONAL

**ANÁLISE SÍSMICA DE UM TANQUE ENCHIDO NA BASE
COM CONSIDERAÇÃO DA INTERAÇÃO FLUIDO-ESTRUTURA**

Carlos Alexandre da J. **Miranda**

IPEN-CNEN/SP-COFERSP

Travessa P, 400, CEP 05508-900,

Cid. Universitária, São Paulo - SP



1. Introdução

Na refer. [1] foi feito um estudo de frequências naturais em um cilindro de parede com partes finas e partes espessas, imerso em água confinada, com modelos finitos axisimétricos harmônicos com um levantamento bibliográfico sobre o assunto, inclusive com recomendações quanto a modelagem a ser adotada. Na refer. [2] o tanque ora analisado foi discretizado de forma semelhante à aqui apresentada e forem citadas as primeiras frequências do mesmo em um estudo comparativo entre modelos "sem" e "com" água, além da consideração de formulações analíticas obtidas em literatura específica [4] e avaliação da frequência de "slashing". No presente trabalho complementa-se o estudo anterior [2] com a análise sísmica do tanque aplicando-se um espectro de resposta típico, em termos de aceleração, além da consideração da pressão interna possuída e do peso próprio.

O tanque, considerado sem reforços nessa fase do trabalho, é formado por uma calota superior hemisférica de 9,6 m de raio conectada por um trecho cilíndrico a outra calota hemisférica semi-enterrada no pavimento, cada trecho com um valor diferente de espessura. O nível da superfície livre da água é considerado a cerca de 13. m acima do pavimento.

Tendo em vista que os modos significativos, para a análise sísmica, tem frequências espalhadas de mais de 10%, adotou-se o método SRSS (Raiz Quadrada da Soma dos Quadrados). Para obter a composição das componentes nodais. O mesmo método SRSS foi utilizado para a composição das componentes espaciais (uma horizontal e outra vertical).

This work presents the seismic analysis of a tank partially filled with water and partially buried into the base, with no stiffeners. A harmonic axisymmetric shell and fluid finite element model was developed for this study with special attention to the shell-fluid interface. The frequencies of the fluid filled shell are in the seismic amplification zone for a seismic excitation. The analysis, with a typical acceleration response spectra, was performed and the results show a strong amplification of the stresses although remaining within the allowable limits.

SUMMARY

2. Modelos

This work presents the seismic analysis of a tank partially filled with water and partially buried into the base, with no stiffeners. A harmonic axisymmetric shell and fluid finite element model was developed for this study with special attention to the shell-fluid interface. The frequencies of the fluid filled shell are in the seismic amplification zone for a seismic excitation. The analysis, with a typical acceleration response spectra, was performed and the results show a strong amplification of the stresses although remaining within the allowable limits.

2. Modelos

Na modelagem e nas análises foi utilizado o programa ANSYS [4] tendo sido desenvolvido um modelo axisimétrico básico com elementos harmônicos de casca (de 2 nós e 4 graus de liberdade (gdl) por nó - UX (radial), UY (vertical), UZ (circunferencial), ROTX) e de fluido (de 4 nós e 3 gdl por nó; UX, UY e UZ), denominado modelo "Com Água". Procurou-se banter os elementos de fluido com a forma mais "regular" possível. As principais propriedades adotadas são apresentadas em [2] tendo sido

considerados valores típicos para o aço e para a água. Algumas análises foram realizadas, com um modelo "Sem Água", onde os elementos de fluido foram desativados, para os carregamentos de pressão interna e aceleração lateral.

Com o modelo "com água", apresentado na figura 1, visa-se efetuar as análises da estrutura (considerando diretamente a influência da água no interior do tanque) sob os carregamentos propostos: Pressão Interna, Peso Próprio e Sismo. Existem 2 situações distintas: 1) carregamento axissimétrico (MODE=0, onde MODE é o número de ondas circunferenciais) - Peso próprio, Pressão Interna e componente do Sismo na direção Y Vertical e 2) carregamento não axissimétrico com MODE1 (i.e.: com 1 onda circunferencial) - Sismo Horizontal.

Na deformada nodal, os deslocamentos radiais e os verticais se desenvolvem em $\cos(\omega t)$ e os deslocamentos circunferenciais em $\sin(\omega t)$, sendo notável, a partir dos deslocamentos impostos ou aplicados a fluido. Idem para os esforços e as tensões. Maiores detalhes sobre o assunto, modelo axissimétrico com carregamento não axissimétrico (armônico), podem ser vistos na refer. [3].

Interface Fluido-Estrutura:

Para a correta consideração desta interface foram criadas 2 camadas de nós coincidentes: uma do lado da água e outra do lado da casca. Estes nós coincidentes foram girados para que, em seus sistemas de coordenadas, a direção X coincidisse com a perpendicular à mencionada interface e, posteriormente, foram acoplados nas suas direções X. Desta forma é permitido o deslocamento tangencial relativo.

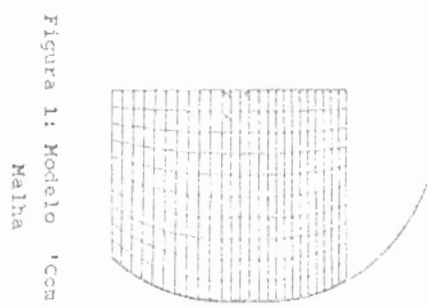


Figura 1: Modelo 'com Água'
Malha

Caso axissimétrico (MODE=0) - foram consideradas, para a casca, as condições de axissimetria: UX=UY=ROTZ=0 no ápice da casca, as condições de axissimetria: UX=UY=ROTZ=0 no resto e engaste total no nó de base. Para a água foram consideradas: UY=0 nos nós da base e UX=0 no eixo de simetria. Caso com MODE1 - foram considerados, para a casca: UY=0 no ápice da casca e engaste total na base. Para a água: UX=0 para os nós da base e para os nós sobre o eixo de simetria. Adicionalmente foram criados vínculos tais que, para os nós do fluido sobre o eixo de simetria, tenha-se UX=UZ [3]. Com estes vínculos, não todos não se alteram, em relação ao apresentado na refer. [2].

Para a extração das frequências foi adotado o método de Householder reduzido definindo-se UX e UY de todos os nós da casca como giros de liberdade (gdl) masters. Com este procedimento certa-se apenas os modos da casca evitando, assim, captar modos associados com a água ("sloshing", da ordem de 0.3 Hz [2]).

3) Carregamentos

Foi adotado o valor de 1.0 bar (0.1 MPa) para a pressão interna. Para a consideração do sismo foi adotado, conservadoramente, um espectro de resposta envoltório, a partir dos valores máximos dos espectros típicos adotados, para as direções X, Y e Z, associados a 2% de amortecimento crítico, conforme apresentado na figura 2. Para o peso próprio foi adotado uma aceleração $1g=9.81 \text{ m/s}^2$.

4) Resultados

Inicialmente são apresentados os principais modos axissimétricos (MODE=0) e não-axissimétricos (MODE=1). Em seguida são apresentadas as distribuições de tensões de membrana e nas superfícies da casca (externa-TOP e interna-BOT) para cada carregamento isolado (e em cada nodo, no caso de carregamento definido como espectro de resposta).

Condições de Contorno:
As condições de contorno dependem do parâmetro MODE definido.

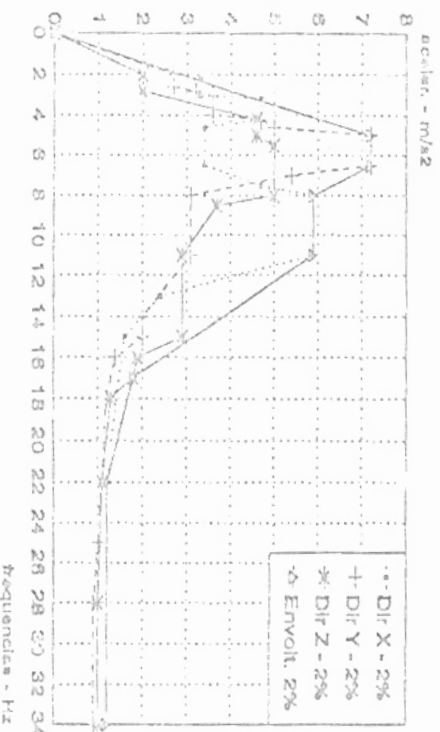


Figura 2: Espectro de Resposta 'Envoltório' Adotado

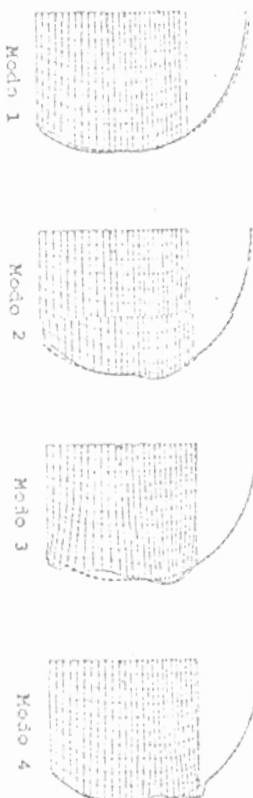


Figura 3: Modos de Vibração Axissimétricos - MODE=0

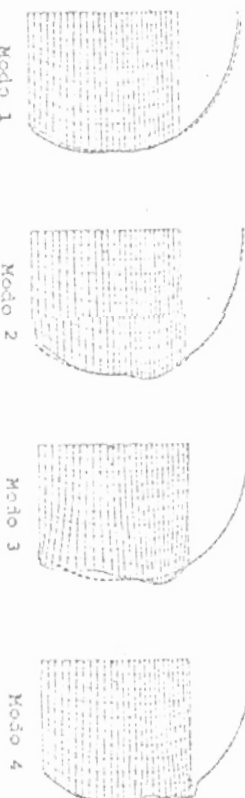


Figura 4: Modos de Vibração - MODE = 1

Frequências:
As primeiras 4 frequências associadas aos parâmetros

MODE=0 e MCC=1 são apresentadas na tabela 2. Nas figuras 3 e 4 são mostrados, respectivamente, os primeiros 4 modos axissimétricos (MODE=0) e os 4 primeiros modos não axissimétricos, associados ao parâmetro MODE=1. Observa-se, a partir da tabela 2 que os modos 1 e 2 são os únicos significativos.

Tensões:

A seguir são apresentados os resultados, em termos de tensões SI (Stress Intensity - definida como o dobro da máxima tensão tangencial) para cada carregamento. Na tabela 3 são apresentados os valores máximos indicados nas figuras 5 a 8 com os resultados

das diversas análises efetuadas. Tais máximos não ocorrem todos nos mesmos pontos.

Pressão Interna - a análise foi efetuada com o modelo "SEM AGUK" (axisimétrico - MODE=0) e os resultados estão na fig. 5.a.

A título comparativo, na figura 5.b são apresentados, os resultados para Aceleração Lateral constante, aplicada nas direções X e -Z locais (= 1g, com o parâmetro MODE=1),



(a) PRESSO

(b) Aceler. Horiz. (X e -Z)local

Figura 5 : Tensões SI - Modelo sem Água

	FREQUÊNCIAS			FRAÇÃO DE MASSA ASSOCIADA (%)		
1	7.61	4.1	88.4	91.6		
2	16.4	7.0	10.4	7.6		
3	22.5	15.	---	---		
4	25.9	22.	0.80	---		
MODE	MODE	em X	em Y			
0	0	1	MODE 0	MODE 1		

Note-se que, além de outros fatores, como descontinuidades estruturais, a variação das tensões ao longo da altura é devida, também, aos diferentes valores de espessuras adotados para cada parte da casca (25 mm, 38 mm e 19 mm respectivamente para a calota superior, parte cilíndrica e calota inferior, cujas respectivos valores da trAÇÃO SI nominais devidos à pressão, em MPa, são: 19,6; 25,8; 25,8).

Tabela 3: Valores das Tensões SI Máximas
(não ocorrem nos menos pontos)

Frequ.	Sifor	SIhor	SIver	CBS	Pressão	Res.
5,8	26,5	43,9	27,8	Prensa	Res.	
6,8	16,2	17,1	14,1	Ac. Horizontal	Kin	
7	14,2	48,3	39,8	P. Próprio		
8	13,8	18,3	17,8	Modo 1	Sismo Vert.	
	1,0	1,0	0,9	" 2	{espectro}	
	113,	145,	131,	" 1	Sismo Hor.	
	45,	60,1	52,6	" 2	{espectro}	

Os resultados apresentados a seguir foram obtidos com o modelo "com água", isto é, com os elementos de fluido ativados.

Peso Próprio - Na figura 6 mostra-se os resultados da análise onde o carregamento associado ao peso próprio foi aplicado como uma aceleração Ig na direção Y (MODE=0, Axissimétrico). Observa-se que, desta forma, também se considera o efeito da pressão hidrostática sobre o tanque.

Sismo - Nas figuras 7 e 8 trazem-se os resultados, respectivamente, para o espectro de resposta associado ao sismo vertical e para o espectro de resposta associado ao sismo horizontal.

Observe-se que, para o caso

da componente horizontal do sismo (figura 8) há um pico de tensões no nível da superfície livre da água no tanque, em ambos os modos significativos.

Este comportamento é compatível com formulações apresentadas em referências, veja-se [5], onde se observa que há uma parte da massa que 'acompanha' a estrutura e outra que oscila, na parte superior da água, com frequências diferentes da casca.

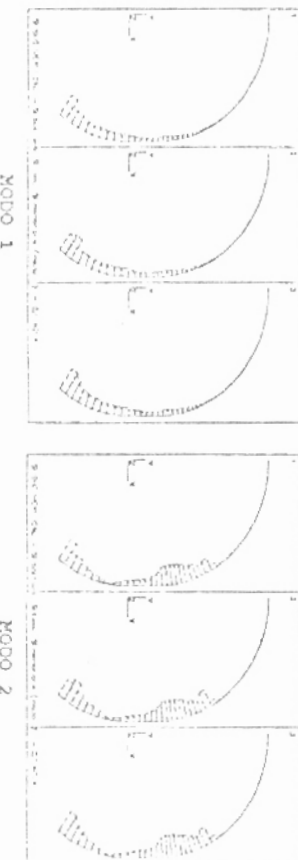


Figura 7: Tensões SI - Modelo com Água - SISMO Vertical

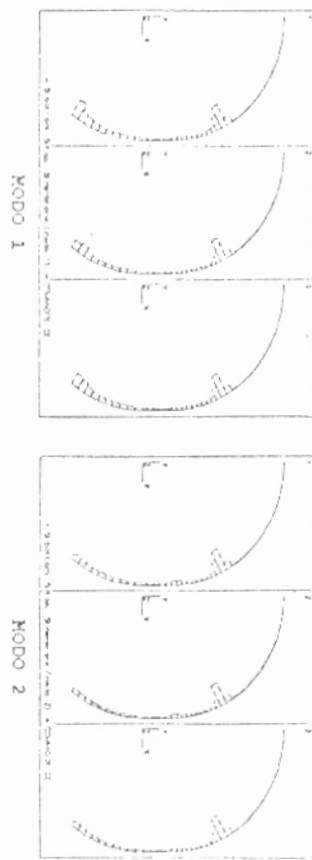


Figura 8: Tensões SI - Modelo com Água - SISMO Horizontal

Comparando-se os resultados da figura 5.b com aqueles da figura 8, e respectivos valores máximos indicados na tabela 3, observa-se que a presença da água, além de induzir uma significativa redução nas frequências da estrutura [2], também induz um forte incremento nas tensões devido à excitação horizontal.

5. Verificação

Para a verificação da integridade da estrutura sob os carregamentos postulados considera-se que a tensão máxima seja limitada pela tensão de escoamento S_y do material da casca, a qual vale 260. MPa. Não se pretende fazer considerações quanto a instabilidade da estrutura sob a ação das cargas definidas uma vez que foge ao escopo deste trabalho.

A combinação dos resultados para a análise sísmica é realizada por meio do método SRSS para as componentes radiais e, também, para as componentes espaciais do sismo. Assim as tensões admisíveis em cada direção (Horizontal e Vertical) são obtidas como sendo $\sqrt{(Módulo I)^2 + (Módulo 2)^2}$. Desta forma a resposta global pode ser obtida, conservadoramente, fazendo-se, em cada ponto da estrutura, a soma em módulo:

$$\text{Peso Próprio} + \text{Pressão} + \sqrt{(\text{Sísmo Horizontal})^2 + (\text{Sísmo Vertical})^2}$$

Assim aplicando-se este raciocínio, ainda mais conservadoramente, aos valores máximos indicados na tabela 3 obtém-se:

$$48.3 + 40.9 + \sqrt{(149.0^2 + 60.1^2 + 18.3^2 + 10^2)} = 251. \text{ MPa}$$

que é inferior ao valor admissível.

6) Conclusões

Os resultados obtidos na refer. [2] mostram que as primeiras 4 frequências da estrutura no modelo "sem água" estão entre 36. e 45. Hz enquanto que no modelo "com água" estes valores caem para cerca de 4. a 16. Hz e, portanto estão na faixa de amplificação de uma excitação sísmica típica. Foi realizada uma análise sísmica considerando-se um espectro de resposta conservador (envoltório dos espectros nas 3 direções X, Y e Z, e para 2% de amortecimento crítico) para garantir a integridade do tanque. Observa-se que há, nos modos significativos, um pico de tensões devido ao carregamento sísmico horizontal, no nível da superfície livre da água. Os resultados obtidos no presente trabalho mostram que as

REFERÊNCIAS

- [1] Miranda, C. A. J. - "Interação Fluido-Estrutura - Estudo Comparativo Entre Modelos com Elementos de Casca com "Added Mass" e Modelos com Elementos Finitos Sólidos e de Fluido 2-D Axisimétricos". XI Congresso Latino-Ibero-Americanico sobre Métodos Computacionais Para Engenharia, CUT/90.

- [2] Miranda, C. A. J. - "Análise de Frequências de um Tanque Engastado na Base com Consideração da Interação Fluido-Estrutura e Sloshing". V CGEN - Congresso Geral de Energia Nuclear, Rio de Janeiro, AGO/94.
- [3] ANSYS, Versão 4.4A, "User's Manual" - Desalvo, G.J. e Doman, R.W., 1989
- [4] Blevins, R. - "Formulas for Natural Frequency and Mode Shape" - Van Nostrand R. Co., New York, 1979.
- [5] Blevins, R. - "Flow Induced Vibration" - Van Nostrand R. Co., New York, 1977.